

基礎地盤コンサルタント(株) ○ 阪上 最一
安田 進

町のサンプリングが、一応可能とはなった。今日、サンプリング試料の品質評価の問題があらためて、砂のサンプリングに関する研究の重要な課題として、クローズアップされている。サンプリング試料の品質を評価するということは、厳密に言えば、サンプリング → 通船 → 成形といふ一連のサンプリングの過程で発生する試料の乱れを、変形、強度といった力学的立場から評価することである。しかし、この試料の品質評価の問題は、複雑な要因がからみ合っているため、容易なものではない。このように考え、サンプリング時の乱れは、サンプリング過程中、試料に最も大きさをもつとされるものと考へられている。そこで、本研究は、このよくなサンプリング試料の品質評価の問題を扱う手はじめとして、サンプラー貫入時の乱れについて、サンプラーの刃先角度や肉厚などの形状によってどのようにかわるか、アルミ棒を用いたモデル実験を行ない詳細に調べたのである。

1. 実験装置および実験方法

まず、モデル実験装置について説明する。図-1は、モデル実験装置のモデル土槽および、モデルサンプラーである。モデル土槽は、アルミ棒を積み上げる外ワフ(60cm × 50cm)と、サンプラーをモデル地盤に鉛直に押し込むためのガイドとからなっている。モデルサンプラーは、アタッチメントを取り換えることによって、刃先角度を15°、60°に、また肉厚を5mm、10mmにそれぞれ通り換えることが可能な構造とした。肉厚は、アルミ棒の平均粒径が、約2mmで、豊浦砂のそれの約10倍であること、また、サンプラーの固定ピストン式シンウォールチューブの厚さ1mmへ2mmであることから、相似比を現実に近づけるような形で決定した。サンプラーの性能は、通常、断面積比で表現されることが多いようである。本報告では、2次元モデル実験のため、サンプラーの巾(15cm)と、肉厚の厚さ($D_w - D_e$)との比により次式で定義した。

$$\text{断面積比 } C_a^* = (D_w - D_e)/D_e \quad \dots \dots \quad (1)$$

次に、モデル地盤の作成について説明する。モデル地盤作成に用いたアルミ棒は長さ5cm、 $\phi 3.2\text{ mm}$ 、 $\phi 1.6\text{ mm}$ の2種類丸棒で混合重量比を、 $\phi 3.2/\phi 1.6 = 45/55$ とした。(豊浦砂の粒径加積曲線よりアルミ棒の粒径にシフトし、平均粒径 D_{50} が2mmになるように決定した)モデル地盤の大さきは約60cm × 30cm²、denseな地盤($e=0.2$)とlooseな地盤($e=0.27$)の2種類の地盤を作成した。denseな地盤はアルミ棒を上記の混合比で、ランダムな配置によるように積み上げることにより作成し、looseな地盤は、denseな地盤からアルミ棒を決められた本数だけ抜きとることにより作成した。作成したモデル地盤には、2cm × 2cmのメッシュを描き入れた。実験は速度2cm/1分の速度でサンプラーを貫入させ、5mm貫入ごとに、モデル地盤の端面より粒子の動きを重ね撮り、および普通撮りで写真撮影を行なった。本研究で行なった実験条件一覧表を、表-1に示す。

2. 実験結果および考察

今回行なった実験のうち、denseな地盤で行なった実験の重ね撮り写

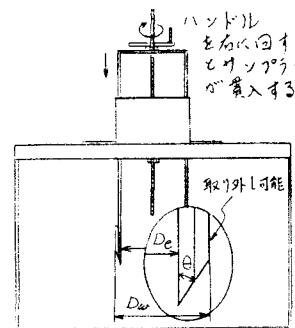


図-1. モデル実験装置

No.	θ	$D_w - D_e$	C_a^*	e
1	15°	5mm	0.033	0.2
2	"	10 "	0.066	"
3	60°	5 "	0.033	"
4	"	10 "	0.066	"
5	15°	5 "	0.033	0.27
6	"	10 "	0.066	"
7	60°	5 "	0.033	"
8	"	10 "	0.066	"

表-1. 実験条件

真を、写真1～4に示す。写真は、実物のサンプラー内部の縦断面に相当するものである。先ず、今回着目したサンプラー貫入時の試料の乱れについての一般的傾向を、写真1を用いて説明する。

この写真について、サンプラー貫入時のサンプラー内部における粒子の動きを見てみると、2通りの粒子の大きさがわかることがわかる。1つは、サンプラー内壁付近の粒子の下方への流れ、もう1つは、サンプラーの刃先の先端付近での粒子のサンプラー内側および外側への流れである。前者は、サンプラーの貫入とともに、サンプラー壁がアルミ棒との摩擦により、粒子を下方に引きずり込むとするものである。また後者のうち、内側への乱れは、サンプラーの刃先と粒子との摩擦から刃先の先端が粒子を内側に押すことによって生じる乱れであり、外側への乱れは、サンプラーの刃先が粒子を外側に押し広げるために生じる乱れである。サンプラー貫入時のサンプラー内部の試料の乱れは、この2種類の乱れが主なものと考えられる。次に、それらの写真の比較を行なう。これらの写真のうち、写真1、3は、サンプラーの肉厚が薄く、写真2、4は厚い場合である。また、写真1、2はサンプラーの刃先角度が鋭く、写真3、4は鈍い場合である。上に述べたサンプラー貫入時の2種類の乱れについて、これら4枚の写真を比べてみると、写真4における粒子の動きが最も大きく、残りの写真1、2、3の3枚の写真における粒子の動きは、どれも同じ程度で、写真4と比べると小さいことがわかる。以上のことから、サンプラーの刃先角度が粒子の乱れに影響を与えるのは、サンプラー肉厚がある程度厚い場合であると思われる。また、サンプラーの肉厚が薄く、刃先角度が鋭い(写真3)場合、粒子の乱れが少なかった理由として、サンプラーの肉厚が、モデル粒子の大きさと比べると現実よりかなり薄く、粒子がこの刃先角度の大小を判別できずに十分な厚みを持っていなかったためと考えられる。さらに、サンプラーの厚みが薄いと、刃先の形状効果が現れることから、サンプラーの径の長さに対して、肉厚が大きい(断面比が大きい)ようなサンプラーでは、サンプラーの刃先をある程度鋭利にしなければならぬと考えられる。今回行なった実験は、固気ピストンのない状態で行なったものであること、およびアルミ棒モデルであるなど、あくまでも定性的な議論を超えるものではない。

次に、今回 loose な地盤で行なった実験結果について述べる。(写真は、紙面の都合上はがかせていない) loose な地盤でも、先に説明した dense の地盤におけるサンプラーの肉厚および刃先角度の関係は、ほぼ成り立つようである。ただし、loose の場合は、dense と比較して、本来、サンプラー内部での粒子の自由度が高いため、サンプラー貫入時ににおけるサンプラー内部の乱れは、大きいようである。

最後に、末筆ながら、本社課長は枝慶一氏に謝意を表す。

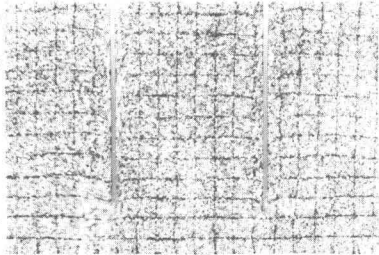


写真1. 重ねどり (No. 1)

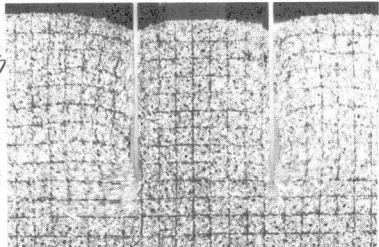


写真2. 重ねどり (No. 2)

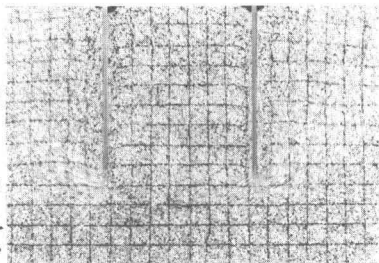


写真3. 重ねどり (No. 3)

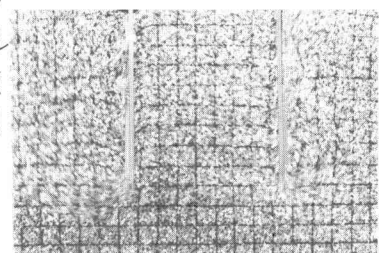


写真4. 重ねどり (No. 4)